

تنقية وتوصيف أنزيم البروتياز القاعدي من بكتريا *B. stearotheophilus* المنتج بواسطة تخمرات الحالة الصلبة

عصام فاضل الجميلي، أسماء وليد داود

فرع التقنية الأحيائية، معهد الهندسة الوراثية والتقنية الأحيائية للدراسات العليا، جامعة بغداد

الخلاصة

تعد تنقية أنزيم البروتياز المنتج من العزلة *B. stearotheophilus* AEA1.2 أحد الشواغل باستخدام المعاداة الحرارية وكروماتوغرافيا ممتزج الأيونات باستخدام البروتين المنقى (DIAE-Cellulose) والبروتين الأيوني في عمود سيفروزيل 6B (Sephrose-6B) إذ تم فصل أنزيم البروتياز عن Protease I و Protease II وكانت عدد مرات تنقية 5.9 و 9.8 وبخصبية ترسيبية 15 و 37 على التوالي. اختبرت ثلاثة الأيزوجي 1 و 2 باستخدام القرحين الكيرياتي القرضي بوجود المواد استنارة وقد بلغ الوزن الجزيئي حوالي 56234 و 69502 دالتون على التوالي و 13182 و 20892 دالتون عند تنقيته بطريقة التناضح الغشائي. أما الأيزوجي الهيدروجينية على لهوائية اللازويون تجاه الكبريت 7 و 10 وأنواع الأيزوجي الأيسر واليسار بينهما بين (6.5-7.5) و (8-10) على التوالي. احتفظ أنزيم البروتياز 1 و 2 بكامل فعاليته بعد 60 و 60-65 ساعة لمدة 15 دقيقة.

المقدمة

تشكل أنزيمات كاربوكسيل أسيدي أهمية متزايدة وتتمثل أهمية 60% من الاستعدادات الصناعية للأنزيمات المختلفة إذ يبلغ إنتاج أنزيمات البروتياز من مستعمرات المايكروبية مثل الإنسان مستخدمة من بكتريا *Bacillus* (1).

هذا أنزيم يزيد *collagenolytic protease* من مخزونا *Bacillus* sp. Ma-1 بعد 24 ساعة من التكاثر الأيضي باستخدام *cellulose* -DIAE في التنقية الأيضي. كما أخذت قوة الترسيب الأيسر. عمود Separacyl S-500 HR وفقدت الحصول على حزمة بروتينية واحدة على هلام الكروماتوغرافيا يوجد SDS (2). كذلك تم أنزيم البروتياز المنتج من *B. thermoherb* لتجد أنزيم باستخدام الكروماتوغرافيا الأيونية باستخدام *DIAE-sephadex A-50* كروماتوغرافيا الأيونية باستخدام α -Casein agarose بخصبية الأيزوجية 38% (3). كما استخدمت كتلة غروماتوغرافيا الأيونية باستخدام عمود Lysine لتنقية ثلاثة أنواع من البروتينات الأيونية حراريًا من *B. stearotheophilus* L533 (4). بين ما قسم (5) تنقية أنزيم البروتياز من حزمة مع البروتينية وحسن واحد على باستخدام كروماتوغرافيا الأيونية كروماتوغرافيا الأيونية باستخدام Kenation Controlled-pore glass وتم تلبية لإنتاج البروتياز. الأحيائية المتأدية عن بكتريا *B. intermedius* باستخدام كروماتوغرافيا الممتزج الأيونية

مرات تنقية 200 مرة لأظهار 40% و 45% التجميع النوعية 950 وحدة/ملغراء بروتين (6). تهدف الدراسة الحالية إلى تنقية أنزيم البروتياز القاعدي ودراسة بعض خصائصه لتقييم مدى إمكانية الاستفادة منه في الأغراض الصناعية.

المواد وطرق العمل

تم استخدام المواد المستخدمة من بكتريا *B. stearotheophilus* AEA1.2 500 سلالات أنزيم البروتياز وطريقة تخمرات الحالة الصلبة (7) إذ تم فصلها على وسط تغذية الحالة الصلبة والأرغيب محلول فوسفات سترات الأدرين الأوكسين 0.2 مولار وذلك حيث بين الأيسر واليسار للترتيب 5.5 (حجم الأوزن) والرقم الهيدروجيني الأيسر 9. وقد تم فصل الوسط بعد 10 أيام من 10 غرام مادة صلبة والوسط بتوجيه حرارة 60 درجة لمدة 48 ساعة. أما البروتين فتم بالطريقة المتأدية (8). أما فعالية الأيزوجية فقد تم ذلك وفق الطريقة المتأدرة (9) في تحديد فعالية أنزيم البروتياز وذلك باستخدام 0.1 ملغراء. وفي تجربة واحدة تم تقييم إمكانية الأيزوجية التي تزيد في الامتصاص الضوئي على الطول الموجي 280 نانومتر مقدره 0.01 على تنقيته تحت الظروف التجريبية. أما الفعالية النوعية Specific Activity فكانت تعبر عن وحدات الفعالية لكل غرام بروتين.

درجة حرارة 60 °م لمدة 19 ساعة باستخدام مخلوط الفاعل الحزين بتركيز 40.8% وحضن مع استبداله اشارو: اهلا . اما تعيين الرقم الهيدروجيني الأمثل للبيات فقد تم حضن الاتزيم القوي مع مخلوط اشارو بتركيز 40.8% وحضن معون (4-1) وحضن في حمام مائي بدرجة 60 °م ولمدة 30 ساعة ثم نقلت الاتزيم الحاوية على سائل الاتزيم من حمام الماء إلى قدرات الفعالية الاتزيمية.

تعيين درجة الحرارة المثلى لفعالية الاتزيم:

تم حضن مخلوط البات في (40.8% كلولين برفم فيزروجيني 9) بدرجة حرارة مختلفة لمدة 15 ساعة من (54-95) °م لمدة 15 دقيقة ثم اضيف له معلق الاتزيم القوي بتركيز 10 دقائق حرور. بدرجة الحرارة نفسها لمدة 10 دقائق الفاعل بواسطة معلق TCA بتركيز 10% وكثرت الفعالية الاوتزيمية.

تعيين البات الحراري للاتزيم:

حضن معلق الاتزيم المثل في حمام مائي بدرجات حرارية مختلفة (50-95) °م لمدة 15 دقيقة ثم اذلت الاتزيم الكلية على معلق الاتزيم القوي بعدما نظفت الى حمام مائي بدرجة حرارة 60 °م واضيف اليها مخلوط الفاعل (40.8% برفم فيزروجيني 9 وحضنت لمدة 10 دقائق ثم اوقف العمل باضافة مخلوط TCA بتركيز 10% وكثرت الفعالية الاتزيمية.

التنتاج والمنافسة

يوضح الجدول (1) سلوت تنقية الاتزيم لبروتين الفاعلي المنتج من العزلة المباشرة *B. subtilis* AB-102 واستخدام معاملة الحرارة على درجة 70 °م لمدة 3 ساعات وقد اظهرت هذه الخطوة تنقية حرارية مقدارها 1.7 مرة وبمحصية 97% وتبقى خطوة الفصل الاتزيمى حدود 45% من ايمت الاتزيم مليون 10^6 Cellulose. حوالا حصلت على مرات تنقية 3.3 مرة وبمحصية 53%.

تم معالجة المخلوط بالمعاملة الحرارية بدرجة 70 °م لمدة 3 ساعات، تركبت البروتينات غير مرغوب فيها، اعدادت كبريت المستخلص في 1.4م ريد بدرجة 1000x لمدة 10 دقائق بدرجة 4 °م.

تنقية الاتزيم

كروماتوغرافيا التبادل الايوني:

استخدم القوان الايوني DEAE-cellulose وتم ضبطه طبقاً لما وصفه (9) وباعد (5-11) سم والمثل كانت مولارة بمخلوط (0.05 مولار منظم الايونات - 2 ميليكلومول كلوريد الاتزيم و برفم فيزروجيني 8.0) جرت عملية ازالة البروتينات المتراكمة على السيلول باستخدام تدرج مالح ضيق من كلوريد الصوديوم (0-1) مولار وبسرعة حرور 60 ميليكل/دقيقة. جمعت الاجزاء الفرعية من اذوية مغلقة وقيمت الفعالية الاتزيمية بتركيز البروتين فيها.

التوضيح الهام:

اضيف المخلوط الاتزيمى المركز بنتائج من خصوبة الفعالة السابقة في علاج معلق *Sephadex 6B* (2/47) مع الى اجريت مررتة بمخلوط بوسفة، ايونات بيوتانيوم القوان 0.2 مولار كلوريد الكالسيوم بتركيز 2 ميليكلومول و برفم فيزروجيني 8.0) وتم الاستعداد به من المخلوط وجمعت الاجزاء بدرجة 30 ميليكل/ساعة برفم فيزروجيني 8.0.

توصيف الاتزيم: تم تقاير الاتزيم الحزين الاتزيم باستخدام احد من البروتينات القياسية ذات الاوزان الجزيوية المعروفة وباستخدام عمود سلفادور 5B رتكي السموت، اقل ظروف الامتزاز، الشار القياس 0.1، ونسب الامتزاز على طول 280 نانوميتر، اولا فحدد الحد الاقصى لثقل بروتين اياسي (1). وحده ثوران الاتزيمى هذا باستخدام الترحيل الكهربائي بوجود امواد المعطرة SDS PAC.1 (SDS PAC.1) وبمفرقة مع الشملى القياسي للبروتينات ايساميه (12).

الرقم الهيدروجيني الأمثل للفعالية وبيات الاتزيم:

كثرت ايمية الاتزيم السابق تعيين الرقم الهيدروجيني الأمثل لفعالية الاتزيم في ارة ام فيزروجينية مختلفة (6-11).

جدول (1): تنقية أنزيم البروتيناز القاعدي المنتج من العزلة المحلية *B.stearothermophilus* AEAL2

خطوات التنقية	الحجم (مليتر)	الفعالية (وحدة /مليتر)	البروتين (مليتر)	الفعالية النوعية (وحدة/مليتر بروتين)	الفعالية الكلية (وحدة/وحدة)	عدد مرات التنقية	الحصولية (الانزيمية (%))
المستخلص الأنزيمي الخام	13	1467	0.362	4052	19071	1	100
المعاملة الحرارية 70 منوي لمدة 3 ساعات	9	2062	0.294	7013	18558	1.7	97
التبادل الأيوني بعمود قطني النيل امتزاز النيل-شيلوز الترشيح النهائي بعمود السيفاروز-6B	40	257	0.019	13596	10280	3.3	53
I	13	192	0.008	24000	2490	5.9	13
II	20	360	0.009	40000	7200	9.8	37

الترسيب بالأسيتون وبعد ذلك تم تحصيل الانزيم على عمود الترشيح DEAE-Sephadex A-50 ثم عمود الترشيح الهلامي الحاوي على هلام Sephadex G-75 وكلفت الحصولية الانزيمية 8.2% وبعدد مرات تنقية 46.3 (12).

تعيين الوزن الجزيئي لأنزيم البروتيناز

تم تعيين الوزن الجزيئي لأنزيم البروتيناز (II, I) المستحصل عليهما من هذه الدراسة بطريقتين هما طريقة الترشيح الهلامي باستخدام هلام سيفاروز-6B وطريقة الترحيل الكهربائي في هلام المتعدد لكريل نمائيد بوجود SDS (SDS-PAGE). فنتبين ان الوزن الجزيئي للأنزيم الأول والثاني بالطريقة الأولى (شكل 3) 13182.567 و 20892.961 دالتون على التوالي وبالطريقة الثانية 56234.132 و 69502 دالتون على التوالي (شكل 4).

من نتائج هذه الدراسة قد تكون مقاربة مع قيم تم الحصول عليها من قبل عدد من الباحثين إذ أشار (11) الى ان الوزن الجزيئي لأنزيم البروتيناز القاعدي المستحصل من بكتريا *B. stearothermophilus* F1 كان 20000 دالتون عند تقديره بالترشيح الهلامي، بينما كان الوزن الجزيئي لأنزيم البروتيناز القاعدي المنتج من بكتريا *Bacillus sp. No. AII-101* الذي تم تقديره بطريقة الترشيح الهلامي والترحيل الكهربائي كان 12500 دالتون و 29000 دالتون على التوالي (13). كما حدد الوزن الجزيئي لوحين من أنزيمات البروتيناز المنتجة من بكتريا *B. stearothermophilus* RM-67 بطريقة الترشيح الهلامي 67610 دالتون للأنزيم الأول و 19950 دالتون للأنزيم الثاني (9).

يبين الشكل (5) انزيم البروتيناز الامثل للفعالية أنزيمي البروتيناز (II,I) المستحصل عليهما في هذه الدراسة، إذ وجد أن الفعالية الانزيمية البروتيناز (I) تزيد بزيادة الرقم

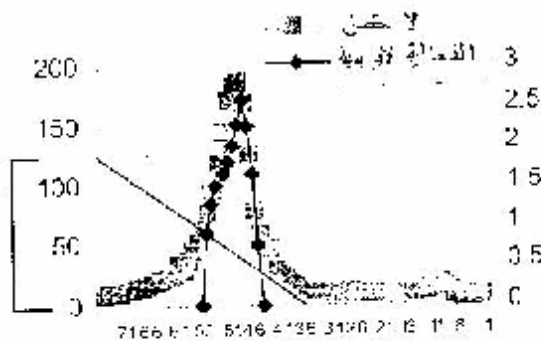
يوضح الشكل (1) قيمة البروتين المرتبط الذي استرد بتدرج ملحي خطي من كلوريد الصوديوم (0-1 مولار). ويستنتج من ذلك أن معظم فعالية أنزيم البروتيناز تقع في الأجزاء المستردة مما يدل على أنه يحمل شحنة سالبة في الظروف المستخدمة جعله يرتبط بالمبادل.

لقد انحصرت الفعالية الانزيمية في قمة واحدة (الشكل 1) وبعد جمع أجزاء قمة الفعالية والتبلورة، وجمعت خطوة الترشيح الهلامي باستخدام عمود هلام سيفاروز-6B بعد خطوة التبدل الأيوني لاستكمال تنقية الأنزيم. وقد نتج عن خطوة التنقية هذه النموذج المسترجع الذي تم تركيبه وفيلترته سائل فمطبول المنظم. ظهور قمتين بروتين وفعالية في الأجزاء المستردة وكانت قمة الفعالية الثانية أعلى من قمة الفعالية الأولى وهذا يدل على فترة العزلة المحلية المستحصل عليها من هذه الدراسة على إنتاج نوعين من أنزيمات البروتيناز. أن ظهور أكثر من قمة للفعالية يدل على وجود أكثر من نوع من البروتينازات (I, II). وقد لوحظت مثل هذه النتائج في دراسات أخرى تناولت تنقية أنزيمات البروتيناز من سلالة RM-67 تعود إلى مجموعة *B. stearothermophilus* (10).

في دراسات أخرى تم تنقية ثلاثة أنواع من البروتينازات من بكتريا *B. stearothermophilus* TLS33 بثلاث خطوات تنقية تضمنت كروماتوغرافيا الألفة باستخدام عمود فلايسين (Lysine) وكروماتوغرافيا التبادل الأيوني باستخدام المبادل الأيوني (Q hyper D) وكروماتوغرافيا الترشيح الهلامي باستخدام عمود (Ultrogel AcA44) (4). كما تم تنقية أنزيم البروتيناز القاعدي من بكتريا *B. stearothermophilus* F1 باستخدام المعاملة الحرارية 70 °م لمدة 3 ساعات تلتها خطوة الترشيح الفلوق ثم الترشيح الهلامي باستخدام عمود السيفادكس G-100 مرتين وقد نتج عن ذلك عدد من خطوات تنقية 128.3 بحصولية الانزيمية 75% (11). ولقد أنزيم

لذا الرقم الهيدروجيني كأمثل فعالية التزيم البروتيني (11) فهو 10 .
 ويقدّم ملاحظة شغلتان في الفعالية الأثرية عند الأرقام
 البروتينية الصاعدة والقاعدة الأثرية عن الحد الأمثل لكل
 الأثرين (11, 7) على مكر في
 هناك وسائل أخرى أثبتت قدرة ملالات مختلفة من بكتريا *B. stearothermophilus* على إنتاج الهضم من نوع من التزيم
 البروتيني إذ يوجد (4) بروتينياً *B. stearothermophilus*
 T1S33 عن إنتاج ثلاثة أنواع من التزيمات البروتينية وهم
 توصف هذه التزيمات إذ وجد أن الرقم الهيدروجيني الأمثل
 للعبة هذه الأثرية عند درجة 100 درجة مئوية لمدة 8.5
 و 7.5 و 7.0 (كشاف جدول 4) أو بزيادة التزيم الفعالي
 المسجل من بكتريا *B. subtilis* بمثل تلك الفعالي اثنى عند
 رقم هيدروجيني 10.5 بينما وجد من التزيم الهيدروجيني الأمثل
 الأثرية التزيم البروتيني المنتج من بكتريا *B. subtilis* على 8
 (4).

ويستخرج من الشكل (8) أن زيادة التزيم البروتيني الأول (I)
 والثاني (II) الناتج من التزيم الفعالي *B. stearothermophilus* AEAL2
 عند رقم هيدروجيني 8 لمدة 15 دقيقة في 3 أصفاء من الأثرية
 الأول (I) والثاني (II) يتأثران فعاليهما عند درجات الحرارة
 60 و 65 (60-65) درجة مئوية على التوالي بينما الحفظ على 90
 لا يزيد الأول (I) والثاني (II) عند درجة حرارة 95 مكر في
 18% و 40% من فعاليتيه على التوالي .



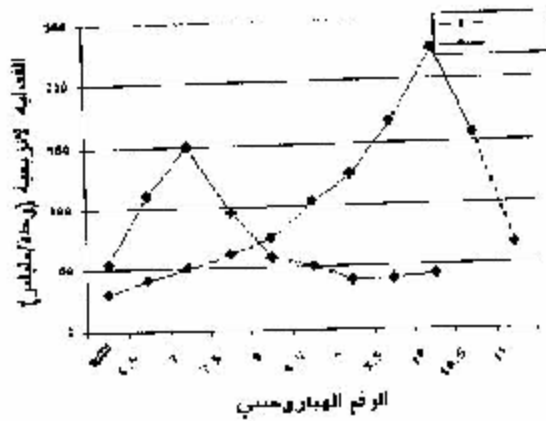
الشكل (1): يوضح كروماتوغرافيا التبادل الأيوني لتفكيك التزيم
 البروتيني الفعالي الناتج من التزيم الفعالي المحطبة
B. stearothermophilus AEAL2 . يستخدم عمود
 DEAE- Cellulose (3.5 × 11) سم والذي تم موازنته
 بحلول الترسيب 0.05 مولار و 2- ساكروغول كلوريد
 كالكسيوم ذو رقم هيدروجيني 8 . وقد تم الإسزاد بحلول
 ملحي خطري من كلوريد الصوديوم (0-1) مولار، سرعة الجريان
 60 مليلتر / ساعة (حجم الجزء 5 مليلتر) .

توجد زيادة كل من التزيم البروتيني الأول (I) والثاني
 (II) المنحصّل فعلياً من هذه التزيم البروتينية هيدروجينية متساوية
 تتراوح بين 11.1 باستخدام مطول كلولين كعقار أستر . إذ
 تراوح الأرقام الهيدروجينية الفعالي أثناء الأثرية الأول بين
 (6.2-7.5) ، الثاني (8-10) على التوالي الشكل (6) .

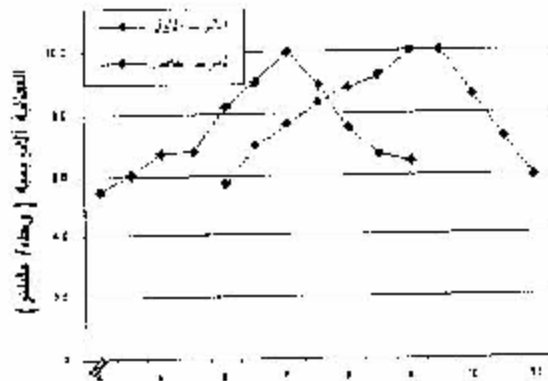
ملاحظة العديد من الدراسات التي تناولت توصية
 التزيم البروتيني وذلك بالرقم الهيدروجيني الأمثل الأثرية التزيم
 إذ وجد (16) أن الأثرين الفعاليين من بكتريا *Bacillus* sp.
 GX5638 على مختلف 95-100% من فعاليتيه عند رقم
 هيدروجيني بين 6-11 عند درجة حرارة 25 مكر لمدة 24 ساعة
 . وأن أرقام البروتيني الفعالي الناتج من بكتريا *B. subtilis*
 كان ثابت عند أرقام هيدروجينية بين 8.9-11.5 إذ الحفظ على
 الأثرية أكثر من 70% من فعاليتيه عند هذه الأرقام درجة
 حرارة 37 مكر لمدة ساعة واحدة وسعداً (14) . أن التزيم
 البروتيني الناتج الفعالي الناتج من بكتريا *B. stearothermophilus* F1
 البروتينية 6-11 ودرجة حرارة 70 مئوية لمدة 30 دقيقة
 (11) .

تمت دراسة التزيم الفعالي حراريّة مختلفة في فعالية
 كل من الأثرية الأول (I) والأثرية الثاني (II) وجزئ التفاعل
 الأثرية بدرجات حرارة تراوحت بين 50-95 مكر ولوحة زيادة
 في فعالية الأثرية مع زيادة درجة الحرارة لهذا درجة حرارة
 65 مكر للأثرية الأول ودرجة حرارة 85 مكر للأثرية الثاني (7)
 الشكل (7).

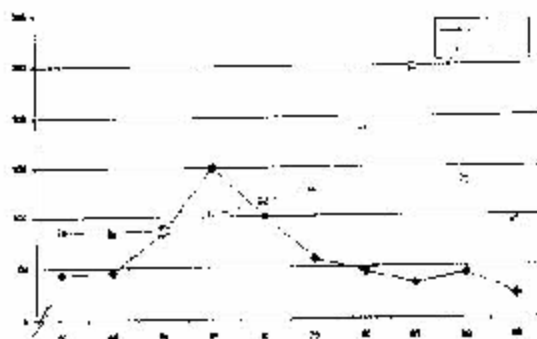
يشغل التزيم درجات الحرارة في البروتينات يختلف
 للملح المنتمية فقد وجد (16) بأن أقصى فعالية الأثرية
 البروتيني الناتج من بكتريا *B. stearothermophilus*



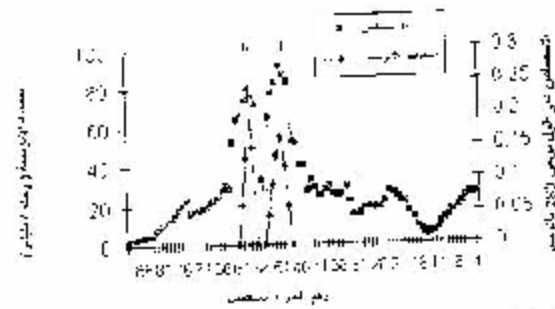
الشكل (5): الزخم الهيدروجيني الأمثل لفعالية إنزيم البرونين القاعدي (I,II) من العزلة المعوية *B. stearothermophilus* AEAL2.



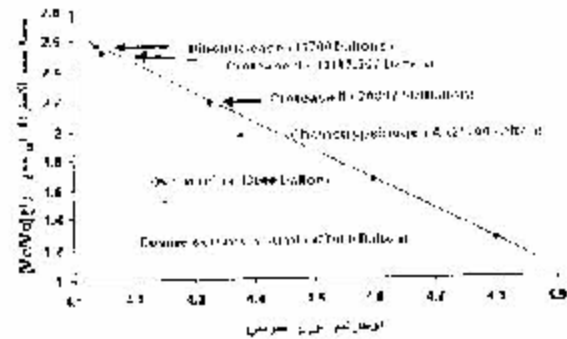
الشكل (6): الرقم الهيدروجيني الأمثل لثبات إنزيم البرونين القاعدي (I,II) من العزلة المعوية *B. stearothermophilus* AEAL2.



الشكل (7): اثبات الحرارة لفعالية إنزيم البرونين القاعدي (I, II) المنتج من العزلة *B. stearothermophilus* AEAL2 ، حضن الإنزيم بدرجات حرارة مختلفة (95-50) °م لمدة 15 دقيقة .



الشكل (8): كروماتوغرافيا الترشيح الهلامي لفعالية إنزيم البرونين القاعدي المنتج من العزلة المعوية *B. stearothermophilus* AEAL2 باستخدام عمود السيفاروز 6B (2.0 × 47) سم والذي سبقت موازنته بحلوز القوس 0.2 مـولار ذي رقم هيدروجيني 8.0 ، ولسرعة الأيزم بحلوز الموازنة نفسه ، سرعة البرونين 30 ملينتر /دقيقة ، بواقع 5 ملينتر / جزء .



الشكل (9): العلاقة بين لوغاريتم الوزن الجزيئي ونسبة حجم الأسترداد إلى حجم الأيزم (V/V) البرونين القاعدي لسبب السيفاروز 6B.

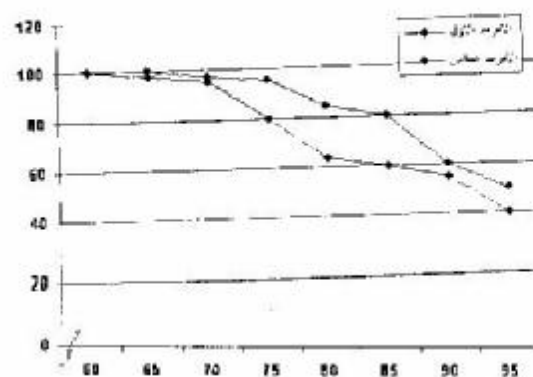


الشكل (10): تعيين الوزن الجزيئي لإنزيم البرونين القاعدي (I,II) المنتج من العزلة المعوية *B. stearothermophilus* AEAL2 بطريقة الترشيح الكهربائي في غلام الأكريلاميد المستعد بوجود المواد المساعدة للبروتين SDS .

8. Whitaker, J.R. and Granum, P.E. (1980). An absolute method for protein determination based on difference in adsorbance at 235 and 280 nm. *Analytical Biochem.* 109: 6-159.
9. Brock, F.M.; Forsberg, C.W. and Buchanan, J.G. (1982). Proteolytic activity of rumen microorganisms and effects of proteinase inhibitors. *Appl. Environ. Microbiol.* 44: 561-569.
10. Chopra, A.K. and Mathur, D.K. (1985). Purification and characterization of heat-stable protease from *B. stearothermophilus* KM-67. *J. Dairy Sci.* 68: 3202-3211.
11. Abd-Rahman, R.N.Z.; Razak, C.N.; Ampon, K.; Basri, M.; Yunus, W.M.W. and Salleh, (1994). Purification and characterization of a heat-stable alkaline protease from *B. stearothermophilus* F1. *Appl. Microbiol. Biotechnol.* 40: 822-827.
12. Ohta, H.O.; Katoh, T. and Fujio, Y. (1995). Purification and some properties of a thermostable protease, BSP2, produced from *B. stearothermophilus*. No.2 *J. Fac. Agr.* 40(1): 9-17.
13. Takami, H.; Akiba, T. and Horikoshi, K. (1989). Production of extremely thermostable alkaline protease from *B.sp.* no. AH-101. *Appl. Microbiol. Biotechnol.* 30: 120-124.
14. Singh, J.; Vohra, R.M. and Sahoo, P.K. (1999). Alkaline protease from a new obligate alkalophilic isolate of *B. sphaericus*. *Biotechnol. Lett.* 21: 921-924.
15. Yang, J.; Shih, I.; Tzeng, Y. and Wang, S. (2000). Production and purification of protease from a *B. subtilis* that can deproteinize crustacean wastes. *Enzyme. Microbiol. Technol.* 26: 406-413.
16. Durham, D.R.; Strwart, D.B. and Stellwag, E.J. (1987). Novel alkaline- and heat stable serine protease from alkalophilic *Bacillus* sp. Strain GX6638. *J. Bacter.* 169(6): 2762-2768.
17. Razak, N.A.; Samad, M.Y.A.; Basri, M.; Yunus, W.M.Z.W.; Ampon, K. and Salleh, A.B. (1994). Thermostable extracellular protease of *B. stearothermophilus*: factors affecting its production. *World J. Microbiol. Biotechnol.* 10: 260-263.
18. Gimenez, M.L.; Studdert, C.A.; Sanchez, J.J. and Decastro, R.E. (2000). Extracellular protease of *Natrialba magadii*: purification and biochemical characterization. *Extremophiles*. 4: 181-188.

Abstract

Alkaline protease was purified from *B. stearothermophilus* AEAL2 by several steps included heat treatment, DEAE-Cellulose ion exchange chromatography and gel filtration on Sepharose-6B column. Gel filtration resulted in separation of the enzyme preparation into protease I



الشكل (8): الثبات الحراري لتفاعلية أنزيم البروتينيز القاعدي (I, II) المنتج من العزلة AEAL2 من *B. stearothermophilus* .
 حضانة الإنزيم بدرجات حرارية مختلفة (60-95) °م لمدة 15 دقيقة .

المصادر

1. Rao, M.B.; Tanksale, A.M.; Ghatge, M.S. and Deshpande, V.V. (1998). Molecular and biotechnology aspects of microbial proteases. *Microbiol. Mol. Biol. Rev.* 62(3): 597-635.
2. Okamoto, M.; Yonejima, Y.; Tsujimoto, Y.; Suzuki, Y. and Watanabe, K. (2001). A thermostable collagenolytic protease with a very large molecular mass produced by thermophilic *Bacillus* sp. Strain MO-1. *Appl. Microbiol. Biotechnol.* 57: 103-108.
3. Manachini, P.L.; Fortina, M.G. and Parini, C. (1988). Thermostable alkaline protease produced by *B. thermoruber* a new species of *Bacillus*. *Appl. Microbiol. Biotechnol.* 28: 409-413.
4. Sookkheo, B.; Sinchaikul, S.; Phutrakul, S. and Chen, S. (2000). Purification and characterization of the highly thermostable proteases from *B. stearothermophilus* LTS33 protein expression and purification. 20: 142-151.
5. Grzywnowicz, K. and Lobarzewski, J. (1994). A purification method from specific serine proteases using one-step affinity chromatography. *J. Chem. Tech. Biotechnol.* 60: 153-160.
6. Balaban, N.P.; Sharipova, M.R.; Usmanova, A.M.; Itskovich, E.L. and Leschinskaia, I.B. (1993). Alkaline extracellular proteinase from *B. intermedius*. Isolation, purification and some properties of the enzyme. *Biokhimiia*. 58: 1923-1928.
7. Dawood, A.W. (2003). Purification of Alkaline protease from local *Bacillus stearothermophilus* and determination of their efficiency in some industrial application. M.Sc. thesis. Genetic Engineering and Biotechnology Institute, Baghdad University. (In Arabic)

and protease II, the obtained purification folds were 5.9 and 9.8 respectively and recovery was 13 and 37 respectively.

The molecular weight of the purified protease I and Protease II were 13182 and 20892 daltons as determined by gel filtration and 55234 and 59502 daltons respectively as determined by SDS-PAGE.

The optimal pH for activity protease I and II on casein were 7 and 10 respectively while the protease I and protease II were most stable in pH range (6.5-7.5) and (8-10) respectively using casein as a substrate.

The maximum purified proteases activity was observed at 60 and 80 °C respectively. The protease I and II retained 100% activity at 60 and 65 °C for 30 min.